

# Laserspektroskopie

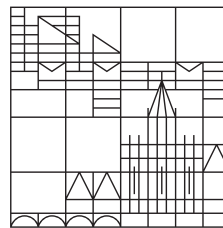
## Fortgeschrittenenpraktikumsbericht

vorgelegt von

**Hermann Böttcher & Yannik ???**

an der

Universität  
Konstanz



Mathematisch-Naturwissenschaftlichen Sektion  
Fachbereich Physik

Tutor: Timo Raab

Konstanz, 2016

---

# Inhaltsverzeichnis

<b>Abbildungsverzeichnis</b>	<b>III</b>
<b>Tabellenverzeichnis</b>	<b>IV</b>
<b>1 Physikalische Grundlagen</b>	<b>1</b>
1.1 Zeeman Effekt . . . . .	1
1.2 Spin-Bahn-Kopplung und Feinstruktur . . . . .	1
1.3 Hyperfeinstruktur . . . . .	2
1.4 Caesium Übergänge . . . . .	3
<b>Bibliographie</b>	<b>4</b>

---

# Abbildungsverzeichnis

---

# Tabellenverzeichnis

## KAPITEL 1

# Physikalische Grundlagen

### 1.1 Zeeman Effekt

Der ZEEMAN Effekt beschreibt die beobachtete Energieaufspaltung der entarteten  $E_{n,l,m}$ -Zustände der Elektronen in der Atomschale in  $m$  Subniveaus in einem externen Magnetfeld  $\vec{B}$ , wobei  $n, l, m$  die bekannten Quantenzahlen sind. Nach dem semiklassischen Modell bewegen sich die Elektronen auf einer Kreisbahn um den Atomkern. Hierdurch wird ein Kreisstrom und damit ein magnetisches Moment

$$\vec{p}_m = -\frac{e}{2m_e} \cdot \vec{l},$$

mit dem Bahndrehimpuls des Elektrons  $\vec{l}$ , der Elementarladung  $e$  und der Elektronenmasse  $m_e$ , erzeugt, welches mit dem Feld  $\vec{B}$  wechselwirkt. Die magnetische Quantenzahl  $m$  kann die Werte

$$-l \leq m \leq +l$$

annehmen. Damit spalten die Energieniveaus  $E_{n,l,m}$  gemäß

$$E_{n,l,m} = E_{\text{Coul}}(n, l) + \underbrace{\frac{e\hbar}{2m_e}}_{=\mu_{\text{Bohr}}} \cdot mB \quad (1.1)$$

in  $(2l + 1)$  Komponenten auf.  $\mu_{\text{Bohr}}$  wird als BOHR'sches Magneton bezeichnet. Die ZEEMAN-Aufspaltung der Spektrallinien ist unabhängig von  $n, l$  und damit äquidistant

$$\Delta E = \mu_{\text{Bohr}} \cdot B. \quad (1.2)$$

Ausführlich inklusive der Erklärung der erlaubten Übergänge wird der ZEEMAN Effekt in [1] beschrieben, obige Beschreibung enthält Auszüge.

### 1.2 Spin-Bahn-Kopplung und Feinstruktur

Zusätzlich zu dem aus der Bahnbewegung des Elektrons resultierenden magnetischen Moment ergibt sich aus dem quantenmechanischen Modell das magnetische Moment

$$\vec{\mu}_s = -2\mu_{\text{Bohr}} \frac{\vec{s}}{\hbar},$$

welchem der Spindrehimpuls  $\vec{s}$  zugrunde liegt.

Das magnetische Moment  $\vec{\mu}_s$  des rotierenden Elektrons befindet sich nun im durch die Rotation erzeugten Magnetfeld  $\vec{B}$ . Je nach Spineinstellung führt dies zur einer Erhöhung bzw. einer Verringerung der Energie

$$\Delta E_{l,s} = -\vec{\mu}_s \cdot \vec{B} \approx \frac{\mu_0 Z \cdot e^2}{8\pi m_e^4 r^3} (\vec{s} \cdot \vec{l}). \quad (1.3)$$

Hierbei ist  $\mu_0$  die magnetische Suszeptibilität und  $Z$  die Ordnungszahl des Atoms.

Die vektorielle Addition von Bahndrehimpuls und Spindrehimpuls ergibt den Gesamtdrehimpuls

$$\vec{j} = \vec{l} + \vec{s}.$$

Wie Bahndrehimpuls und Spindrehimpuls ist der Gesamtdrehimpuls gequantelt. Es gilt

$$|\vec{j}| = \sqrt{j(j+1)} \cdot \hbar$$

wobei

$$j = +\frac{1}{2} \quad \text{für} \quad l = 0$$

und

$$j = l \pm \frac{1}{2} \quad \text{für} \quad l > 0,$$

da sich die z-Komponenten der Drehimpulse entweder parallel oder antiparallel einstellen können.

Nun lässt sich (1.3) umschreiben zu

$$\Delta E_{lj} = \frac{a}{2} \cdot [j(j+1) - l(l+1) - s(s+1)] \quad (1.4)$$

mit der Spin-Bahn-Kopplungskonstante

$$a = \frac{\mu_0 Z e^2 \hbar^2}{8\pi m_e^2 r^3}.$$

Die Aufspaltung der Spektrallinien gemäß

$$E_{n,l,j} = E_n + \Delta E_{lj} \quad (1.5)$$

ist die sogenannte *Feinstrukturaufspaltung*.

Die vorangegangenen Ausführungen sind eine Kurzfassung von [2].

## 1.3 Hyperfeinstruktur

Analog zum Spin des Elektrons wird auch dem räumlich ausgedehnten Atomkern ein Spin zugeordnet, der sogenannte Kernspin  $\vec{l}$ . Mit der Kernspinspinquantenzahl  $l$  wird die Quantelung des Kernspins gemäß

$$|\vec{l}| = \sqrt{l(l+1)} \hbar.$$

Dabei kann die Projektion auf die z-Richtung die  $(2l+1)$  Werte

$$l_z = m_l \cdot \hbar \quad \text{mit} \quad -l \leq m_l \leq +l$$

annehmen. Das magnetische Kernmoment ergibt sich damit zu

$$\vec{\mu}_l = \gamma_K \cdot \vec{l}.$$

Das magnetische Kernmoment befindet sich im vom Elektron durch Bahnbewegung und Spinnmoment erzeugten Magnetfeld  $B_j$  und hat hierdurch die Energie

$$E_{lj} = -|\mu_l| \cdot B_j \cdot \cos(\angle(\vec{j}, \vec{l})).$$

Mit dem Gesamtdrehimpuls des Atoms

$$\vec{F} = \vec{j} + \vec{l}$$

spaltet sich damit jedes Energieniveau der Feinstruktur in der *Hyperfeinstruktur* gemäß

$$E_{HFS} = E_{n,l,j} + \frac{A}{2} [F(F+1) - j(j+1) - l(l+1)], \quad (1.6)$$

mit der Hyperfeinkonstante

$$A = \frac{g_I \cdot \mu_K \cdot B_j}{\sqrt{j(j+1)}}.$$

Die vollständige Herleitung ist in [3] zu finden.

## 1.4 Caesium Übergänge

Im Versuch wird eine Gaskammer mit Cs<sub>133</sub> verwendet.

---

## Literatur

- [1] Wolfgang Demtröder. „Experimentalphysik 3: Atome, Moleküle und Festkörper“. In: Hrsg. von Wolfgang Demtröder. Springer Spektrum, 2015. Kap. 5, 149ff.
- [2] Wolfgang Demtröder. „Experimentalphysik 3: Atome, Moleküle und Festkörper“. In: Hrsg. von Wolfgang Demtröder. Springer Spektrum, 2015. Kap. 5, 158f.
- [3] Wolfgang Demtröder. „Experimentalphysik 3: Atome, Moleküle und Festkörper“. In: Hrsg. von Wolfgang Demtröder. Springer Spektrum, 2015. Kap. 5, 163f.